

# АНАЛИТИЧЕСКАЯ МОДЕЛЬ БРОУНОВСКОГО МОТОРА С ФЛУКТУИРУЮЩИМ ПОТЕНЦИАЛОМ

*В. М. Розенбаум\*, Т. Е. Корочкова*

*Институт химии поверхности Национальной академии наук Украины  
03164, Киев, Украина*

Поступила в редакцию 5 июля 2004 г.

Предложена модель броуновского мотора, производящего полезную работу против силы нагрузки  $F$ , в асимметричном периодическом потенциале  $V(x) = V(x + 2L)$ , который претерпевает случайные сдвиги на полпериода  $L$  с частотой  $\gamma$ . Потенциальный рельеф произвольной формы повторяется с энергетическим сдвигом  $\Delta V$  на обоих полупериодах  $L$ , а периодичность функции  $V(x)$  обеспечивается ее скачками в точках  $x = 0$  и  $x = L$ . Граничное условие при  $x = 0$  для функции распределения броуновской частицы позволяет ввести высокий и узкий барьер  $V_0$ , запирающий обратный поток и приводящий к высокой эффективности мотора (отношению полезной работы, совершаемой против силы нагрузки  $F$ , к энергии, сообщаемой частице за счет сдвигов потенциала). В рамках этой модели получены точные аналитические выражения для потока  $J$  и эффективности  $\eta$ . В частном случае кусочно-линейных потенциалов представлены графические зависимости величин  $J$  и  $\eta$  от  $F$  и  $\gamma$  при различных значениях параметров  $\Delta V$  и  $V_0$ . Обсуждается влияние особенностей формы потенциала и частоты его флуктуаций на основные характеристики мотора.

PACS: 05.40.-a, 05.60.Cd, 82.20.-w, 87.16.Nn

## 1. ВВЕДЕНИЕ

В настоящее время активно исследуются неравновесные флуктуации в асимметричных средах, приводящие к однонаправленному движению броуновских частиц даже в отсутствие внешнего поля [1–3]. Методологический и прикладной интерес к этим вопросам связан с изучением и конструированием так называемых броуновских моторов — «наномашин», преобразующих различные виды энергии в механическую, систем, сегрегирующих наночастицы, молекулярных насосов, работающих на энергии расщепления аденозинтрифосфата и т. д. При моделировании таких систем асимметрия вводится путем рассмотрения асимметричных потенциалов, а флуктуации возникают за счет действия изменяющихся во времени детерминистических или случайных внешних сил (rocking ratchets) [4–6] или же за счет соответствующих изменений самих потенциалов (flashing ratchets) [7–9]. Рассмотрение флуктуирующих потенциалов особенно важно для биоло-

гических приложений [10]. Источником таких флуктуаций могут быть быстро протекающие химические реакции или резко изменяющиеся электрические поля, вызывающие скачкообразные изменения констант скоростей химических реакций, связанных с направленным переносом частиц [11–15]. Флуктуирующие потенциалы в таких моделях возникают тогда, когда можно ввести фазовое пространство координат реакций [16–18].

Обычно рассматривают асимметричные потенциалы, которые флуктуируют (переключаются) между двумя состояниями  $U^\pm(x)$  с частотой  $\gamma$ . За счет этих флуктуаций броуновская частица приобретает определенную энергию, часть которой диссипируется в процессе установления равновесия в каждом из потенциальных рельефов  $U^\pm(x)$ , а другая часть переходит в энергию однонаправленного движения. Основными характеристиками такого броуновского мотора являются поток  $J$ , который определяет среднюю скорость однонаправленного движения, и эффективность  $\eta$ , которая характеризует отношение полезной работы, совершаемой против внешней силы нагрузки  $F$ , к энергии,

\*E-mail: vrozen@mail.kar.net

затрачиваемой на флуктуации потенциала. Для броуновского мотора в определенном интервале значений  $\gamma$ , как и для любого мотора, характерно монотонное уменьшение потока  $J$  с увеличением нагрузки  $F$ , а также немонотонное поведение функции  $\eta(F)$  с максимумом  $\eta_m$  при некотором значении  $F_m$ . Естественно, особый интерес представляют модели с большими значениями  $\eta_m$ , тем более что биологические моторы, как правило, демонстрируют высокую эффективность.

Для облегчения вычислительной работы обычно используются потенциалы простого вида с минимальным числом варьируемых параметров, например, пилообразные потенциалы, характеризующиеся только амплитудой и параметром асимметрии. Благодаря линейной форме потенциалов этого типа, дифференциальные уравнения, описывающие диффузию и дрейф броуновской частицы, имеют аналитические решения, поскольку их коэффициенты являются постоянными величинами. В работе [7] рассматривались флуктуации таких потенциалов между двумя состояниями, в которых различались только значения их амплитуд. Если в одном из переключающихся состояний потенциал равен нулю (см. подробное описание этого случая в [2]), то в этом состоянии движение частицы чисто диффузионное и, соответственно, максимум функции  $\eta(F)$  достигается при малых значениях  $\eta_m \approx 0.05$  [19]. В работе [9] было показано, что если потенциал переключается между двумя состояниями, пространственные периоды которых одинаковы, а экстремумы определенным образом сдвинуты друг относительно друга, то броуновское движение вообще не участвует в процессе генерации направленного движения частицы. В простейшем случае выполнение этого условия обеспечивается асимметричным периодическим потенциалом, претерпевающим случайные сдвиги на полпериода  $L$  с частотой  $\gamma$ . Очевидно, в этом случае можно ожидать некоторого увеличения значений  $\eta_m$  (см. модель  $B$  флуктуирующих пилообразных потенциалов в [20]). Однако существенный рост эффективности происходит только в тех моделях, в которых каждый из сдвигающихся на  $L$  потенциалов содержит высокий барьер  $V_0$ , запирающий (при определенных условиях) обратный поток [21]. Дополнительное условие состоит в том, что пологая часть потенциального рельефа должна повторяться с энергетическим сдвигом  $\Delta V$  на обоих полупериодах потенциала [22]. Для периодического потенциального рельефа эти два условия могут быть реализованы одновременно, если допустить скачкообразное изменение потенциала хотя бы в одной точке, при-

надлежащей интервалу  $(0, 2L)$ .

В данной статье приводятся точные аналитические выражения для величин  $J$  и  $\eta$ , полученные в рамках упомянутой модели и проанализированные для различных типов потенциальных рельефов и значений параметров, с целью выяснения предпосылок высокой эффективности броуновского мотора. В разд. 2 дается описание рассматриваемой модели и вводятся уравнения, определяющие основные характеристики мотора. Общее решение этих уравнений и его конкретизация для случаев высоких запирающих барьеров, малых и больших частот переключения потенциалов, а также для частного случая линейных потенциалов представлены в разд. 3. В разд. 4 обсуждается влияние особенностей формы потенциала и частоты его флуктуаций на основные характеристики мотора.

## 2. ОПИСАНИЕ МОДЕЛИ

Динамика движения броуновской частицы в потенциалах

$$U^\pm(x) = V^\pm(x) + Fx$$

(индексы «+» и «-» обозначают потенциалы со сдвинутыми на полпериода компонентами  $V(x)$  и относящиеся к ним величины) определяется двумя функциями распределения  $\rho^\pm(x, t)$ , удовлетворяющими уравнению Смолуховского [23] с дополнительным слагаемым, которое описывает случайные переходы частицы между потенциалами  $U^\pm$  с частотой  $\gamma$ :

$$\frac{\partial \rho^\pm(x, t)}{\partial t} = -\frac{\partial j^\pm(x, t)}{\partial x} - \gamma [\rho^\pm(x, t) - \rho^\mp(x, t)]. \quad (1)$$

Здесь потоки  $j^\pm(x, t)$  определяются выражением

$$j^\pm(x, t) = -D \exp[-\beta U^\pm(x)] \times \\ \times \frac{\partial}{\partial x} \{ \exp[\beta U^\pm(x)] \rho^\pm(x, t) \}, \quad (2)$$

где  $D$  — коэффициент диффузии,  $\beta = (k_B T)^{-1}$  — обратная температура,  $k_B$  — постоянная Больцмана,  $T$  — абсолютная температура). В стационарном состоянии полный поток  $J \equiv j^+(x) + j^-(x)$  является постоянной величиной, которую можно представить в виде [22]

$$J = 2j^+(0) + \gamma R(L), \\ R(x) \equiv \int_0^x [\rho^-(x') - \rho^+(x')] dx. \quad (3)$$

Выражение (3) получено интегрированием уравнения (1) по  $x$  с учетом условий  $\rho^\pm(x+L) = \rho^\mp(x)$  и  $j^\pm(x+L) = j^\mp(x)$ , следующих из равенства  $V^\pm(x+L) = V^\mp(x)$ . Эти же условия определяют и выражение для энергии, затрачиваемой на переключение потенциалов  $U^+ \rightarrow U^- \rightarrow U^+$  в единицу времени:

$$W_{in} = 2\gamma \int_0^L [V^+(x) - V^-(x)] [\rho^-(x) - \rho^+(x)] dx. \quad (4)$$

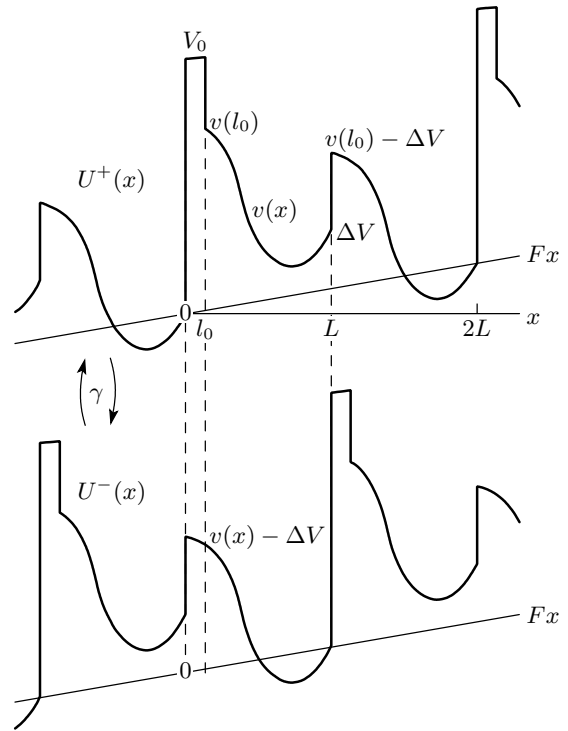
Поскольку полезная работа мотора, совершаемая в единицу времени против силы нагрузки  $F$ , равна  $W_{out} = 2FLJ$ , соотношения (3) и (4) определяют эффективность мотора  $\eta = W_{out}/W_{in}$ .

В стационарном состоянии система уравнений (1) и (2) эквивалентна дифференциальным уравнениям четвертого порядка относительно  $\rho^\pm(x)$  с зависящими от  $x$  коэффициентами, которые выражаются через производные функций  $U^\pm(x)$ . Эти уравнения сводятся к уравнениям третьего порядка из-за сохранения полного потока  $J$  с изменением  $x$ . Некоторое упрощение возникает при использовании кусочно-линейных потенциалов  $U^\pm(x)$ , что приводит к дифференциальным уравнениям третьего порядка с постоянными коэффициентами. Их общее решение определяется корнями кубического уравнения, а произвольные постоянные и искомый поток  $J$  находятся с помощью численной процедуры из условий непрерывности функций  $\rho^\pm(x)$  и их производных в точках соприкосновения линейных участков потенциалов [7]. Возможность аналитического рассмотрения задачи возникает, если потенциальный рельеф произвольной формы повторяется с энергетическим сдвигом  $\Delta V$  на обоих полупериодах  $L$ , а периодичность функции  $V(x)$  обеспечивается ее скачками в точках  $x = 0$  и  $x = L$ . Тогда дифференциальные уравнения относительно  $\rho^\pm(x)$  становятся уравнениями второго порядка; одно из них решается в квадратурах относительно  $U^\pm(x)$ , а частные решения второго входят явным образом в выражения для характеристик мотора, полученные в следующем разделе. Кроме того, такой потенциальный рельеф является одним из необходимых условий для получения высокой эффективности мотора [22].

Определим функцию  $V^+(x)$  на двух полупериодах соотношениями

$$V^+(x) = \begin{cases} V_0, & 0 \leq x < l_0, \\ v(x), & l_0 \leq x < L, \end{cases} \quad (5)$$

$$V^+(x+L) = v(x) - \Delta V, \quad 0 \leq x < L,$$



**Рис. 1.** Потенциалы  $U^\pm(x) = V^\pm(x) + Fx$ , которые включают асимметричные периодические компоненты  $V^\pm(x) = V^\pm(x+2L) = V^\mp(x+L)$ , сдвигающиеся на полпериода  $L$  с частотой  $\gamma$ , и внешнее поле силы нагрузки  $F$ . Каждый потенциал имеет высокий барьер  $V_0$  в узкой области  $l_0$ . Пологий рельеф  $v(x)$  повторяется на обоих полупериодах  $L$  со сдвигом  $\Delta V$ . Периодичность функций  $V^\pm(x)$  обеспечивается ее скачками. (Положения потенциальных кривых и граничных точек на них указаны относительно прямой  $Fx$ )

так что в точках  $x = 0, l_0, L$  она претерпевает скачки  $V_0, V_0 - v(l_0), v(l_0) - 2\Delta V$  ( $v(L) = \Delta V$  в соответствии с выбором начала координат на рис. 1). В пределе  $l_0 \rightarrow 0$  граничные условия в точках  $x = 0$  и  $x = L$  легко выводятся из выражения (2). Они представляют собой условия непрерывности потоков в этих точках, а также соотношения, учитывающие равенство  $\rho^\pm(x+L) = \rho^\mp(x)$ :

$$\Lambda j^+(0) = D \{ \rho^-(L) - \exp[\beta v(l_0)] \rho^+(l_0) \}, \quad (6)$$

$$\rho^+(L) = \exp\{ \beta [v(l_0) - 2\Delta V] \} \rho^-(l_0), \quad (7)$$

где  $\Lambda \equiv l_0 \exp(\beta V_0)$ . В этом же пределе имеем  $V_0 l_0 \rightarrow 0$ , однако допускаются произвольные значения параметра  $\Lambda$ , в частности, можно полагать, что  $\Lambda/L \gg 1$ . Поэтому соотношение (4) принимает вид  $W_{in} = 2\gamma \Delta V R(L)$ , и эффективность мотора вычисляется по формуле

$$\eta = \frac{FL}{\Delta V} \left[ 1 + \frac{2j^+(0)}{\gamma R(L)} \right]. \quad (8)$$

Значения  $\eta$  стремятся к единице при  $FL \rightarrow \Delta V$ , если отрицательный поток  $j^+(x)$  в точке  $x = 0$  мал. Это условие выполняется в том случае, когда барьер  $V_0$  в точке  $x = 0$  достаточно высок. Таким образом, высокая эффективность броуновского мотора возникает при одновременном выполнении двух условий [22]: а) наличия высокого и узкого барьера  $V_0$ , запирающего обратный поток; б) повторения пологого потенциального рельефа  $v(x)$  произвольной формы на обоих полупериодах функции  $V^+(x)$  с энергетическим сдвигом  $\Delta V$ .

### 3. АНАЛИТИЧЕСКОЕ РАССМОТРЕНИЕ ОСНОВНЫХ ХАРАКТЕРИСТИК МОТОРА

Введем новые переменные  $\xi_{1,2}(x) = \rho^+(x) \mp \rho^-(x)$ , которые при учете выражений (1) и (2) удовлетворяют на интервале  $l_0 < x < L$  дифференциальным уравнениям

$$\{\xi_1'(x) + \beta[v'(x) + F] \xi_1(x)\}' = 2\tilde{\gamma}\xi_1(x), \quad (9)$$

$$\xi_2'(x) + \beta[v'(x) + F] \xi_2(x) = -J/D, \quad (10)$$

где  $\tilde{\gamma} \equiv \gamma/D$ . Общее решение уравнения (9) выражается через два частных решения  $\varphi_i(x)$  того же уравнения,

$$\xi_1(x) = \sum_{i=1}^2 C_i \varphi_i(x), \quad (11)$$

и содержит две произвольные постоянные,  $C_1$  и  $C_2$ . Еще две произвольные постоянные,  $C_3$  и  $J$ , входят в общее решение уравнения (10):

$$\xi_2(x) = \exp\{-\beta[v(x) + Fx]\} \times \left[ C_3 - \frac{J}{D} \int_{l_0}^x \exp\{\beta[v(x') + Fx']\} dx' \right]. \quad (12)$$

Уравнение (3) связывает только постоянные  $C_1$  и  $C_2$ . Чтобы показать это, удобно ввести две функции, выражающиеся через частные решения  $\varphi_i(x)$ :

$$\begin{aligned} \chi_i(x) &= \varphi_i'(x) + \beta[v'(x) + F] \varphi_i(x), \\ \Phi_i(x) &= \int_{l_0}^x \varphi_i(x') dx', \quad i = 1, 2. \end{aligned} \quad (13)$$

Тогда из (2) следует выражение для  $j^+(x)$ :

$$2j^+(x) = J - D \sum_{i=1}^2 C_i \chi_i(x), \quad (14)$$

а уравнение (3) принимает вид

$$\sum_{i=1}^2 C_i [\chi_i(0) + \tilde{\gamma}\Phi_i(L)] = 0. \quad (15)$$

При учете равенства  $\chi_i'(x) = 2\tilde{\gamma}\varphi_i(x)$ , следующего из выражений (9) и (13), уравнение (15) можно переписать в эквивалентном виде:

$$\sum_{i=1}^2 C_i [\chi_i(0) + \chi_i(L)] = 0. \quad (16)$$

Итак, равенства (15) или (16) дают первое уравнение относительно постоянных  $C_1$  и  $C_2$ . Второе уравнение определяется условием нормировки, которое связывает постоянные  $C_3$  и  $J$ :

$$\int_{l_0}^L \xi_2(x) dx = C_3 Z_- - \frac{J}{D} Z_{-+} = \frac{1}{2}, \quad (17)$$

где ( $Z_+$  см. ниже)

$$\begin{aligned} Z_{\pm} &\equiv \int_{l_0}^L \exp\{\pm\beta[v(x) + Fx]\} dx, \\ Z_{-+} &\equiv \int_{l_0}^L dx \exp\{-\beta[v(x) + Fx]\} \times \\ &\quad \times \int_{l_0}^x dx' \exp\{\beta[v(x') + Fx']\}. \end{aligned} \quad (18)$$

Еще два уравнения относительно четырех постоянных,  $C_1, C_2, C_3$  и  $J$ , следуют из граничных условий (6) и (7).

В результате решения системы уравнений (6), (7), (15) (или (16)) и (17) основные характеристики мотора могут быть записаны в следующем виде:

$$\begin{aligned}
 j^+(0) &= \frac{D}{4\Sigma} [A - 4\tilde{\gamma}Z_+ \exp(-\beta FL) \operatorname{sh}(\beta\Delta V)], \\
 R(L) &= \frac{1}{\Sigma} \{ \Lambda [\exp(\beta\Delta V - \beta FL) - 1] + 2Z_+ \exp(-\beta FL) \operatorname{sh}(\beta\Delta V) \}, \\
 J &= \frac{D}{2\Sigma} \{ 2\tilde{\gamma}\Lambda [\exp(\beta\Delta V - \beta FL) - 1] + A \}, \\
 \eta &= \frac{FL}{\Delta V} \frac{\exp(\beta\Delta V - \beta FL) - 1 + (2\tilde{\gamma}\Lambda)^{-1}A}{\exp(\beta\Delta V - \beta FL) - 1 + 2\Lambda^{-1}Z_+ \exp(-\beta FL) \operatorname{sh}(\beta\Delta V)},
 \end{aligned} \tag{19}$$

где

$$\begin{aligned}
 \Sigma &= 2\tilde{\gamma}\Lambda \{ Z_+ Z_- \exp(\beta\Delta V - \beta FL) - \\
 &- Z_{-+} [\exp(\beta\Delta V - \beta FL) - 1] \} + \\
 &+ \Lambda Z_- \{ \Psi_0 \exp[\beta v(l_0)] + \Psi_L \exp(2\beta\Delta V) \} + \\
 &+ Z_+ Z_- B - Z_{-+} A, \\
 A &= 2\Psi_0 \exp[\beta v(l_0)] \times \\
 &\times [\exp(-\beta FL) \operatorname{ch}(\beta\Delta V) - 1] + \\
 &+ 2\Psi_L \exp(\beta\Delta V) [\exp(-\beta FL) - \operatorname{ch}(\beta\Delta V)], \\
 B &= 2 \exp(-\beta FL) \{ \Psi_0 \exp[\beta v(l_0)] \operatorname{ch}(\beta\Delta V) + \\
 &+ \Psi_L \exp(\beta\Delta V) \}, \\
 \Psi_j &= \frac{\begin{vmatrix} \chi_1(0) + \chi_1(L) & \varphi_1(j) \\ \chi_2(0) + \chi_2(L) & \varphi_2(j) \end{vmatrix}}{\begin{vmatrix} \chi_1(0) & \Phi_1(L) \\ \chi_2(0) & \Phi_2(L) \end{vmatrix}}, \quad j = 0, L.
 \end{aligned} \tag{20}$$

Аналитическое представление (19) позволяет рассчитывать характеристики мотора для произвольного вида потенциала  $v(x)$  и параметра  $\Lambda$ , задающего степень запираения обратного потока.

### 3.1. Предел большой эффективности ( $\Lambda/L \gg 1$ )

Основной результат, следующий из представления (19), состоит в том, что если значения  $\Lambda$  достаточно велики, то эффективность мотора стремится к единице при  $FL \rightarrow \Delta V$  вне зависимости от формы потенциала  $v(x)$ . Это условие реализуется, когда высокий запирающий барьер  $V_0$  малой ширины  $l_0$  является самым крутым участком потенциального рельефа  $V^+(x)$ . Тогда в пределе  $FL \rightarrow \Delta V$  эффективность можно приближенно представить в виде

$$\begin{aligned}
 \eta &\approx \frac{FL}{\Delta V} \frac{F_s - F}{F_0 - F}, \quad F_0 L = \Delta V (1 + \delta_0), \\
 F_s L &= \Delta V (1 - \delta_s), \\
 \delta_0 &= \frac{Z_+}{\Lambda} \frac{1 - \exp(-2\beta\Delta V)}{\beta\Delta V} \ll 1, \\
 \delta_s &= -\frac{A}{2\tilde{\gamma}\Lambda\beta\Delta V} \ll 1
 \end{aligned} \tag{21}$$

и ее максимальное значение достигается при

$$\begin{aligned}
 \eta_m &= \left( \sqrt{1 + \delta_0} - \sqrt{\delta_0 + \delta_s} \right)^2, \\
 F_m L &= \Delta V \left[ 1 + \delta_0 - \sqrt{(1 + \delta_0)(\delta_0 + \delta_s)} \right].
 \end{aligned} \tag{22}$$

Наличие высокого запирающего барьера позволяет объяснить высокую эффективность данной модели броуновского мотора в терминах сильной связи двух процессов, один из которых обеспечивает подвод энергии к мотору, а второй — генерацию мотором полезной энергии. Обобщенными термодинамическими движущими силами этих процессов являются величины  $X_2 = \beta\Delta V$  и  $X_1 = -\beta FL$ . Соответствующие обобщенные потоки определяются величинами  $J_2 = \gamma R(L)$  и  $J_1 = J$ , которые задаются соотношениями (19). Производство энтропии в этих двух процессах и ее связь с эффективностью мотора можно записать следующим образом [24]:

$$\begin{aligned}
 \frac{dS}{dt} &= J_1 X_1 + J_2 X_2 = J_2 X_2 (1 - \eta), \\
 \eta &= -\frac{J_1 X_1}{J_2 X_2}.
 \end{aligned} \tag{23}$$

Состояние термодинамического равновесия определяется условиями  $X_2 = X_1 = 0$ , при которых  $J_2 = J_1 = 0$ . Поэтому вблизи равновесия допустимо разложение обобщенных потоков по малым обобщенным силам. Предполагая, что такие разложения линейны, имеем

$$J_i = \sum_{j=1}^2 L_{ij} X_j, \quad i = 1, 2, \tag{24}$$

где коэффициенты разложения  $L_{ij}$  удовлетворяют соотношению симметрии Онзагера  $L_{12} = L_{21}$  и неравенствам  $L_{11} > 0$ ,  $L_{22} > 0$ ,  $L_{12}^2 \leq L_{11} L_{22}$  обеспечивающим неотрицательность квадратичной формы  $dS/dt \geq 0$ . В работе [24] в качестве меры связи двух процессов вводится параметр  $q \equiv L_{12}/\sqrt{L_{11} L_{22}}$  ( $-1 \leq q \leq 1$ ), через который выражается максимальное значение эффективности:

$$\eta_m = \frac{q^2}{(1 + \sqrt{1 - q^2})^2}. \quad (25)$$

При  $q \rightarrow \pm 1$  величина  $\eta_m$  стремится к единице по закону  $\eta_m \rightarrow 1 - 2\sqrt{1 - q^2}$ .

Разлагая соотношения (19), (20) по  $X_1$  и  $X_2$ , получаем

$$q = \Lambda \{ [\Lambda + \tilde{\gamma}^{-1}(\Psi_0 \exp[\beta v(l_0)] + \Psi_L)] \times (\Lambda + 2Z_+) \}^{-1/2} \xrightarrow{\Lambda \rightarrow \infty} 1 - \frac{1}{2}(\delta_0 + \delta_s). \quad (26)$$

Малые параметры  $\delta_0$  и  $\delta_s$  в этом выражении определяются формулами (21), которые в пределе  $X_{1,2} \rightarrow 0$  принимают вид

$$\begin{aligned} \delta_0 &= \frac{2Z_+}{\Lambda} \ll 1, \\ \delta_s &= \frac{\Psi_0 \exp[\beta v(l_0)] + \Psi_L}{\tilde{\gamma}\Lambda} \ll 1. \end{aligned} \quad (27)$$

Таким образом, вблизи равновесия связь двух процессов, энергии которых преобразуются мотором, обеспечивается именно наличием высокого барьера, запирающего обратный поток. Соотношения (21), (22) справедливы и вдали от равновесия, когда обобщенные термодинамические силы  $X_1$  и  $X_2$  не малы. Сравнивая значения параметров  $\delta_0$  и  $\delta_s$ , определяемых формулами (21) и (27), легко убедиться, что они минимальны вблизи равновесия. Поэтому именно вблизи равновесия достигается наибольшая эффективность мотора при наличии запирающего барьера.

### 3.2. Малые и большие частоты переключения потенциалов

Малость параметра  $\delta_s$  в соотношении (21) предполагает, что значения  $\gamma$  ограничены снизу. Физический смысл этого ограничения состоит в том, что за среднее время жизни  $\gamma^{-1}$  потенциалов  $U^\pm$  частица не успевает преодолеть высокий и узкий барьер  $V_0$ , и он блокирует ее обратное движение. Характерное время  $\tau$  установления равновесия в пологом потенциальном рельефе  $v(x) + Fx$  оценивается выражением

$$\tau = Z_+ Z_- / 2D \geq L^2 / 2D.$$

Поэтому характерное время, за которое может быть преодолён барьер  $V_0$ , оценивается как  $\tau/\delta_0$  и неравенство  $\delta_s \ll 1$  эквивалентно условию  $\gamma^{-1} \ll \tau/\delta_0$ . Поведение решения (19) существенно изменяется в зависимости от величины безразмерного параметра

$\gamma\tau$ . В предельном случае низких частот,  $\gamma\tau \ll 1$ , частные решения  $\varphi_i(x)$  стремятся к частным решениям (12). Это приводит к следующим асимптотикам функций  $\Psi_{0,L}$ :

$$\begin{aligned} \Psi_0 &\xrightarrow{\gamma \rightarrow 0} 2Z_-^{-1} \exp[-\beta v(l_0)], \\ \Psi_L &\xrightarrow{\gamma \rightarrow 0} 2Z_-^{-1} \exp(-\beta\Delta V - \beta FL), \end{aligned} \quad (28)$$

которые можно использовать, чтобы найти величину  $\gamma R(L)$ . Для вычисления с той же точностью величины  $j^+(0)$  требуются, кроме того, линейные по  $\gamma$  поправки к выражениям (28), зависящие от частных решений  $\varphi_i(x)$ . Тем не менее полный поток, рассчитанный по формуле (3) без учета таких поправок, дает при  $\gamma\tau \ll 1$  качественно правильное поведение решений, рассмотренное в [22].

В противоположном предельном случае высоких частот,  $\gamma\tau \geq \tilde{\gamma}L^2/2 \gg 1$ , имеем  $\varphi_i(x) \approx \exp(\pm\sqrt{2\tilde{\gamma}}x)$  и функции  $\Psi_{0,L}$  становятся независимыми от параметров пологого потенциального рельефа:

$$\Psi_{0,L} \xrightarrow{\gamma \rightarrow \infty} \sqrt{2\tilde{\gamma}}. \quad (29)$$

Тогда параметр  $A$  в (20) легко выражается через наклон  $f_{0L} \equiv [v(l_0) - \Delta V]/L$  пологого потенциального рельефа:

$$\begin{aligned} A &= 2\sqrt{2\tilde{\gamma}} \times \\ &\times \{ \exp(\beta\Delta V - \beta FL) [\exp(\beta f_{0L}L) \operatorname{ch}(\beta\Delta V) + 1] - \\ &- \exp(\beta\Delta V) [\exp(\beta f_{0L}L) + \operatorname{ch}(\beta\Delta V)] \}, \end{aligned} \quad (30)$$

и максимальное значение эффективности при  $\delta_s \ll \delta_0 \ll 1$  можно записать в виде

$$\begin{aligned} \eta_m \approx & 1 - 2\sqrt{\delta_0} + \frac{2}{\sqrt{2\tilde{\gamma}}\Lambda} \left\{ \exp(\beta f_{0L}L) \operatorname{ch}(\beta\Delta V) + \right. \\ & \left. + 1 - \frac{[\exp(\beta f_{0L}L) + \exp(\beta\Delta V)] \operatorname{sh}(\beta\Delta V)}{\sqrt{\delta_0} \beta\Delta V} \right\}. \end{aligned} \quad (31)$$

Вследствие малости параметра  $\delta_0$ , определенного в (21), выражение в фигурных скобках, как правило, отрицательно и параметр  $\eta_m$  увеличивается с ростом  $\tilde{\gamma}$ , стремясь к предельному значению  $1 - 2\sqrt{\delta_0}$ . Исключением является случай  $f_{0L}L \sim \Delta V$ , в котором выражение в фигурных скобках становится положительным при  $\Lambda/L \ll \beta\Delta V \exp(2\beta\Delta V)$ . В этом случае параметр  $\eta_m$  характеризуется немонотонным поведением: принимает максимальное значение при некотором  $\tilde{\gamma}$ , а затем убывает до значения  $1 - 2\sqrt{\delta_0}$  с ростом  $\tilde{\gamma}$ . В пределе  $\sqrt{\tilde{\gamma}}\Lambda \rightarrow \infty$  выражение (31) сводится к асимптотике, представленной в [22].

### 3.3. Линейный потенциал $v(x)$

Решение (19) содержит важную информацию о поведении основных характеристик броуновского мотора в зависимости от особенностей потенциального рельефа  $v(x)$ . Чтобы продолжить аналитическое рассмотрение этих характеристик, выберем в качестве потенциала  $v(x)$  линейную функцию

$$\beta [v(x) + Fx] = \beta v(l_0) + f(x - l_0), \quad (32)$$

$$f \equiv \beta F + \frac{\beta [v(L) - v(l_0)]}{L - l_0}.$$

Тогда при  $l_0 \rightarrow 0$  частные решения уравнения (9) и функции параметров потенциала  $v(x)$ , входящие в выражения (19) и (20), примут вид

$$\varphi_{1,2}(x) = \exp [(-f \pm \Delta)x/2], \quad \Delta \equiv \sqrt{f^2 + 8\tilde{\gamma}},$$

$$Z_{\pm} = \pm \exp [\pm \beta v(l_0)] [\exp(\pm fL) - 1] / f,$$

$$Z_{-+} = \frac{L}{f} - \frac{1}{f^2} [1 - \exp(-fL)], \quad (33)$$

$$\Psi_{0,L} = \frac{1}{2 \operatorname{sh}(L\Delta/2)} \left\{ \left[ \exp\left(\pm \frac{fL}{2}\right) + \operatorname{ch}\left(\frac{L\Delta}{2}\right) \right] \Delta \pm f \operatorname{sh}\left(\frac{L\Delta}{2}\right) \right\}.$$

Чтобы уменьшить число параметров потенциала, рассмотрим два частных случая — ступенчатый потенциал с  $v(l_0) = v(L)$  и предельно асимметричный пилообразный потенциал с  $v(l_0) = 2v(L) = 2\Delta V$ .

#### 3.3.1. Ступенчатый потенциал

Рассматриваемый частный случай интересен тем, что в нем поток  $J$  при  $F = 0$  может быть представлен в простом аналитическом виде, характеризующем основные тенденции поведения потока в зависимости от ряда параметров модели:

$$J = \frac{D}{L^2} \frac{\tilde{\Lambda}}{\tilde{\Lambda} + [\tilde{\Lambda} + \exp(\beta\Delta V) + 1] \Gamma^{-1} \operatorname{cth} \Gamma} \times \operatorname{th} \frac{\beta\Delta V}{2}, \quad (34)$$

где

$$\tilde{\Lambda} \equiv \Lambda/L, \quad \Gamma \equiv L\sqrt{\tilde{\gamma}/2}.$$

Поскольку потенциал  $V(x)$  становится симметричным в отсутствие дополнительного барьера ( $\Lambda = 0$ ) или в отсутствие энергетического сдвига между двумя полупериодами ( $\Delta V = 0$ ), поток обращается в нуль при этих условиях. Он также стремится к нулю при  $\exp(\beta\Delta V) \gg \tilde{\Lambda}$ , когда  $\Gamma \ll 1$ , или

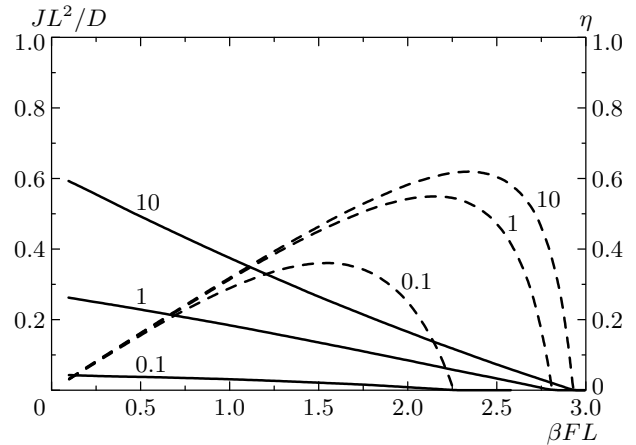


Рис. 2. Зависимости потока  $J$  (сплошные линии) и эффективности  $\eta$  (штриховые линии) от силы нагрузки  $F$ , рассчитанные для ступенчатого потенциала по соотношениям (19), (20) и (32), (33) при различных значениях  $\tilde{\gamma}L^2$  (указаны около кривых) и фиксированных значениях параметров  $\beta\Delta V = 3$  и  $\Lambda/L = 1000$

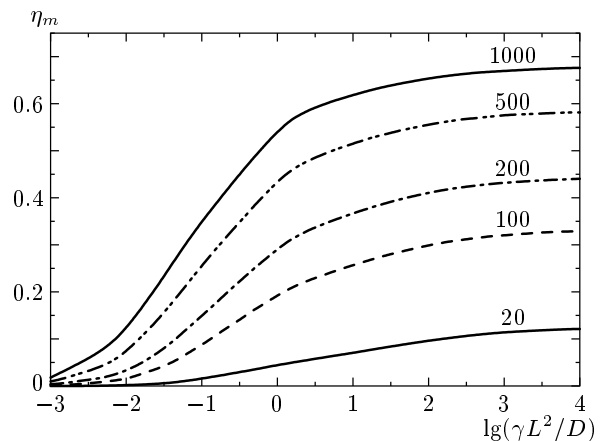


Рис. 3. Зависимости  $\eta_m = \max \eta(F)$  от частоты  $\gamma$  переключения потенциалов для ступенчатого потенциала при различных значениях  $\Lambda/L$  (указаны около кривых) и фиксированном значении параметра  $\beta\Delta V = 3$

при  $\exp(\beta\Delta V) \gg \Gamma\tilde{\Lambda}$ , когда  $\Gamma \gg 1$ . В пределе  $\tilde{\gamma} \rightarrow \infty$  поток стремится к ненулевому значению  $(D/L^2) \operatorname{th}(\beta\Delta V/2)$ .

На рис. 2 представлены характерные зависимости  $J$  и  $\eta$  от силы нагрузки  $F$ , рассчитанные по уравнениям (19), (20) и (32), (33) при различных значениях  $\tilde{\gamma}L^2$  и фиксированных значениях параметров  $\beta\Delta V$  и  $\Lambda/L$ . По мере роста  $\gamma$  поток и эффектив-

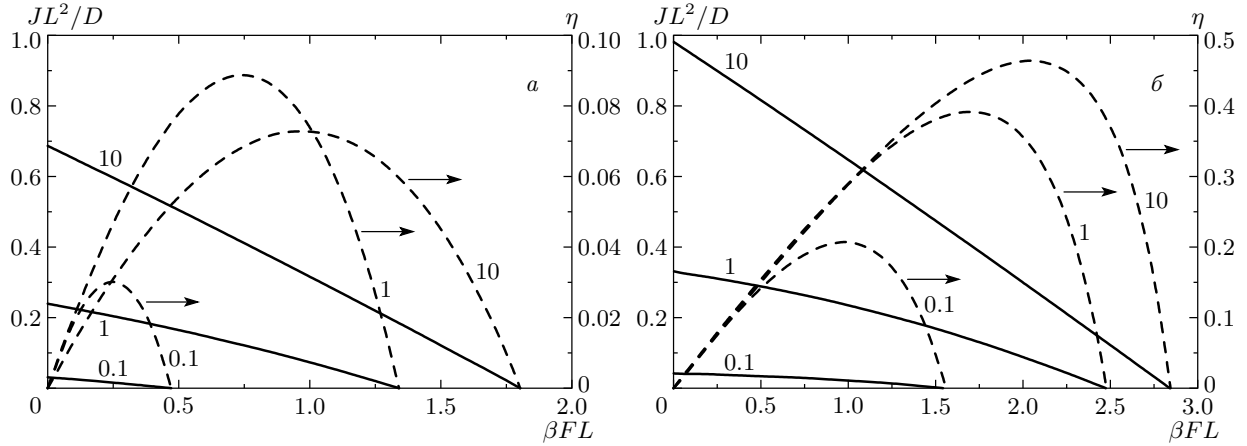


Рис. 4. Зависимости потока  $J$  (сплошные линии) и эффективности  $\eta$  (штриховые линии) от силы нагрузки  $F$  для предельно асимметричного пилообразного потенциала при различных значениях  $\tilde{\gamma}L^2$  (указаны около кривых), и фиксированных значениях параметров  $\beta\Delta V = 3$  и  $\Lambda/L = 0$  (а),  $\Lambda/L = 1000$  (б)

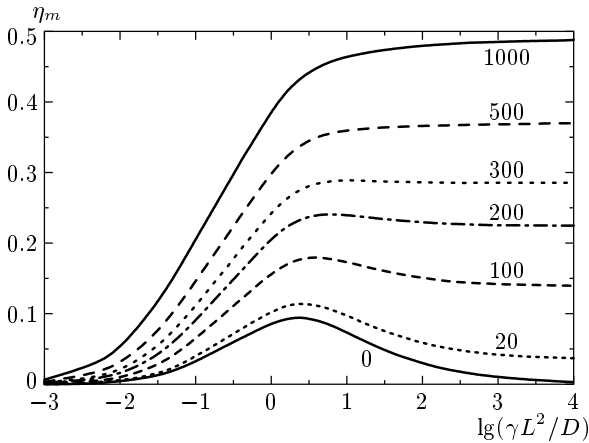


Рис. 5. Зависимости  $\eta_m = \max \eta(F)$  от частоты  $\gamma$  переключения потенциалов для предельно асимметричного пилообразного потенциала при различных значениях  $\Lambda/L$  (указаны около кривых) и фиксированном значении параметра  $\beta\Delta V = 3$

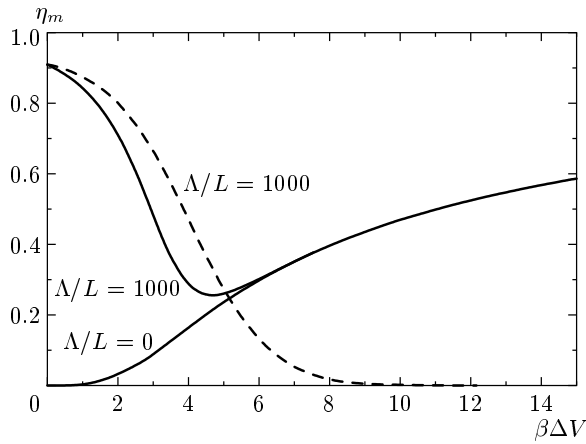
ность возрастают, причем последняя характеризуется немонотонным поведением с максимумом  $\eta_m$ , который также возрастает с ростом  $\gamma$ . Монотонные зависимости  $\eta_m(\gamma)$  тем ближе к идеальному пределу  $\eta = 1$ , чем больше значения параметра  $\Lambda$  (рис. 3).

### 3.3.2. Предельно асимметричный пилообразный потенциал

В данном случае параметр  $\Delta V$  управляет одновременно асимметрией потенциала и величиной барьера, запирающего обратный поток. Поэтому

даже в отсутствие дополнительного барьера  $V_0$  ( $\Lambda = 0$ ) поведение основных характеристик мотора носит нетривиальный характер. Например, зависимость максимума  $\eta_m$  функции  $\eta(F)$  с ростом  $\gamma$  является немонотонной (рис. 4а) в отличие от случая ступенчатого потенциала (см. рис. 2) или предельно асимметричного пилообразного потенциала с высоким дополнительным барьером (рис. 4б). Эту закономерность наглядно иллюстрирует рис. 5, на котором показано немонотонное поведение зависимости  $\eta_m(\gamma)$  в определенной области малых значений  $\Lambda$  (в согласии с пределом больших  $\gamma$ , представленным соотношением (31)). Влияние дополнительного барьера на эффективность мотора хорошо видно из зависимости максимума функции двух переменных  $\eta(F, \gamma)$  от величины параметра  $\Delta V$  (рис. 6). В области малых  $\Delta V$  высокая эффективность обеспечивается исключительно наличием дополнительного барьера  $V_0$ , тогда как при больших  $\Delta V$  роль дополнительного барьера становится незначительной по сравнению с  $\Delta V$  и высокая эффективность обусловлена запирающим обратного потока самого пилообразного потенциала. Отметим, что в этих двух предельных случаях законы, по которым величина  $\eta_m$  стремится к единице, совершенно различны. В первом из них отклонение значения  $\eta_m$  от единицы экспоненциально быстро убывает с ростом  $V_0$  (см. (21), (22)), а во втором — описывается асимптотикой  $\eta_m \rightarrow 1 - \ln(\beta\Delta V)/\beta\Delta V$  (при этом значения  $F_m$  и  $\gamma_m$ , при которых функция  $\eta(F, \gamma)$  максимальна, определяются асимптотиками  $\beta(\Delta V - F_m L) \rightarrow \ln(\beta\Delta V)$  и





**Рис. 6.** Зависимости  $\eta_m = \max \eta(F, \gamma)$  от величины сдвига потенциалов на двух полупериодах при различных значениях  $\Lambda/L$  для предельно асимметричного пилообразного потенциала (сплошные линии) и ступенчатого потенциала (штриховая линия)

$\tilde{\gamma}_m L^2 \rightarrow \ln(\beta\Delta V)/2\beta\Delta V$ . Для ступенчатого потенциала параметр  $\Delta V$  не связан с наличием запирающего барьера. Поэтому эффективность  $\eta_m$  монотонно убывает с ростом  $\Delta V$  (рис. 6).

Разлагая функции (33) по параметру  $8\tilde{\gamma}/f^2 \ll 1$ , легко получить следующее представление для  $J$  и  $\eta$  при  $\Lambda = 0$  и  $FL \ll \Delta V$ :

$$J = \frac{\gamma [\text{sh}(\beta\Delta V) - \beta\Delta V] - \tau^{-1} \text{sh}(\beta FL)}{2 [1 + \text{ch}(\beta\Delta V)]}, \quad (35)$$

$$\eta = \frac{FL}{\Delta V} \left[ 1 - \frac{\beta\Delta V}{\text{sh}(\beta\Delta V)} - \frac{1}{\gamma\tau} \frac{\text{sh}(\beta FL)}{\text{sh}(\beta\Delta V)} \right],$$

где

$$\tau = \left[ \frac{\text{sh}(\beta\Delta V/2)}{\beta\Delta V/2} \right]^2 \frac{L^2}{2D}.$$

Обратим внимание, что вблизи равновесия разложение величины  $J$  по малым обобщенным силам  $X_2 = \beta\Delta V$  и  $X_1 = -\beta FL$  дает

$$J \approx \frac{1}{24} \gamma (\beta\Delta V)^3 - \frac{\beta DF}{2L}. \quad (36)$$

Поскольку поток пропорционален кубу параметра  $\Delta V$ , можно заключить, что два процесса, ответственных за преобразование энергии мотором, связаны между собой очень слабо, а максимальное значение эффективности весьма мало

$$\eta_m \rightarrow \frac{1}{288} (\beta\Delta V)^4 \tilde{\gamma} L^2.$$

Только вдали от равновесия эффективность стремится к единице при  $\beta\Delta V \rightarrow \infty$  (см. рис. 6). Выражение (35), определяющее  $\eta$ , сводится к приведенному в [22] для случая низких частот только в том случае, если  $\beta\Delta V \gg 1$  (так как в [22] поток вычислялся по формуле (3), в которой величина  $j^+(0)$  рассчитывалась в нулевом приближении по  $\gamma$ ). Введение дополнительного высокого и узкого барьера обеспечивает высокую эффективность мотора с предельно асимметричным пилообразным потенциалом не только вдали, но и вблизи равновесия.

### 3.4. Непрерывные потенциалы

Точное аналитическое описание основных характеристик броуновского мотора возможно, благодаря тому что флуктуирующий потенциал претерпевает скачкообразные изменения. Кроме того, граничное условие (6) предполагает введение дополнительного высокого и узкого барьера, играющего ключевую роль для обеспечения высокой эффективности мотора. С другой стороны, скачкообразные изменения потенциала можно рассматривать как некоторое предельное поведение реальных непрерывных потенциалов. В этой связи представленное исследование было бы неполным без анализа устойчивости полученных решений по отношению к небольшим изменениям формы потенциала, посредством которых непрерывное поведение становится скачкообразным.

Для броуновской частицы, характеризуемой коэффициентом диффузии  $D$ , переключения потенциалов с частотой  $\gamma$  определяют характерный размер области  $\tilde{\gamma}^{-1/2} = \sqrt{D/\gamma}$ , на которой функции распределения и потоки претерпевают существенные изменения за счет флуктуаций потенциала. Чтобы выполнялись граничные условия (6), (7), эти расстояния должны быть много больше расстояний  $l$ , на которых те же величины существенно изменяются вследствие резкого изменения потенциалов. Оценивая наклон потенциального рельефа на участках  $l$ , стягивающихся в точку при переходе к пределу скачкообразного потенциала, величиной  $V_0/l$ , получаем условие

$$\gamma \ll D(\beta V_0/l)^2, \quad (37)$$

которое выполняется в широкой области частот  $\gamma$ . Если учесть, что потоки не должны существенно изменяться на ширине  $l_0$  барьера  $V_0$  ( $l_0 \ll \tilde{\gamma}^{-1/2}$ ), возникает более сильное условие:

$$\gamma \ll D/l_0^2. \quad (38)$$

При вычислении эффективности мотора следует также иметь в виду, что ненулевая ширина барьера  $V_0$  вносит вклад, пропорциональный  $V_0 l_0$ , в энергию  $W_{in}$ , затрачиваемую на переключение потенциалов  $U^\pm$ . Вследствие этого при переключении потенциалов между значениями  $V_0$  и  $v_0$  и при учете условия (38), малый параметр  $\delta_0$ , который в пределе  $l_0 \rightarrow 0$  был представлен соотношением (21), можно оценить следующим образом:

$$\delta_0 \sim \frac{L}{l_0} \exp(-\beta V_0) + \frac{\beta V_0 l_0}{L} \exp(-\beta v_0). \quad (39)$$

Поэтому с увеличением барьера  $V_0$  при малых фиксированных значениях  $l_0$  параметр  $\delta_0$  сначала уменьшается (примерно до  $(l_0/L) \exp(-\beta v_0)$  при  $\beta(V_0 - v_0) = 2 \ln(L/l_0)$ ), а затем начинает возрастать. Итак, увеличение эффективности мотора с ростом параметра  $\Lambda$  (см. рис. 5) имеет место только при не очень больших значениях  $\Lambda$ . Энергетические потери, связанные с ненулевой шириной высокого барьера  $V_0$ , можно существенно уменьшить, если  $\exp(-\beta v_0) \ll 1$ , т. е. если переходы в области  $l_0$  происходят между двумя барьерами. Идея такого механизма увеличения эффективности мотора рассматривалась в [21] для модели флуктуирующего двухъямного потенциала.

#### 4. ОБСУЖДЕНИЕ И ВЫВОДЫ

Основные характеристики броуновского мотора существенно зависят от формы флуктуирующего периодического потенциала. Для возникновения однонаправленного движения броуновских частиц такой потенциал должен вносить асимметрию направлений, а для эффективной работы мотора необходимо наличие еще ряда факторов, препятствующих обратному движению частиц и уменьшающих энергетические потери, вызванные флуктуациями потенциала. Изучение этих факторов посредством численных расчетов потоков и эффективностей для потенциалов различной формы и различных видов флуктуаций представляет собой крайне неблагоприятную работу, поскольку она не только весьма трудоемка, но и всегда оставляет под вопросом оптимальность полученных результатов. Необходим общий подход, который, с одной стороны, определял бы основные требования к форме потенциала, а с другой, — допускал бы аналитическое решение задачи и тем самым позволял бы легко выбрать оптимальный режим работы мотора. Подход, предложенный в данной статье, полностью удовлетворяет таким критериям.

Действительно, повторение формы потенциала  $V(x)$  на обоих полупериодах с энергетическим сдвигом  $\Delta V$  позволяет получить точное аналитическое решение задачи для флуктуаций, представленных случайными сдвигами потенциала на те же полпериода, в предположении, что периодичность функции  $V(x)$  обеспечивается ее скачками в точках  $x = 0$  и  $x = L$ , а высокий и узкий барьер  $V_0$  вводится граничным условием при  $x = 0$ . Одновременно создаются предпосылки для высокой эффективности мотора: барьер  $V_0$  препятствует обратному движению броуновской частицы, а идентичность формы потенциала на обоих полупериодах при  $FL \approx \Delta V$  позволяет избежать энергетических потерь, связанных с релаксацией после переключения потенциалов. Таким образом, для оптимальной работы мотора важны только два элемента структуры потенциального рельефа: параметр  $\Delta V$ , характеризующий асимметрию потенциала и ответственный за генерацию однонаправленного движения, и параметр  $\Lambda = l_0 \exp(\beta V_0)$ , характеризующий степень блокирования обратного потока. Порядки величин потока (при  $\tilde{\gamma} L^2 \ll 1$ ) и максимальной возможной эффективности можно оценить следующим образом:

$$J \sim \frac{\gamma}{2} \operatorname{th} \frac{\beta(\Delta V - FL)}{2}, \quad (40)$$

$$\eta_m \sim 1 - \sqrt{\frac{L}{l_0}} \exp\left(-\frac{\beta V_0}{2}\right).$$

Здесь мы полагаем, что  $l_0 \rightarrow 0$ ,  $V_0 \rightarrow \infty$ , однако  $l_0 V_0 \rightarrow 0$ , а параметр  $\Lambda$  может принимать произвольные значения (которые должны быть большими, чтобы эффективность мотора была высокой). Очевидно, что эти условия отражают идеализированную ситуацию предельно эффективного мотора. В действительности для барьеров  $V_0$  ненулевой ширины  $l_0$  нарушается условие идентичности формы на двух полупериодах и возникают энергетические потери, ухудшающие характеристики мотора. По тем же причинам эффективность мотора понижается и при замене скачкообразных изменений потенциала на непрерывные. Ухудшение характеристик можно свести к минимуму, используя двухъямный периодический потенциал, рассмотренный в [21]. В самом деле, если кривизна потенциала в экстремальных точках значительно превышает отношение  $F/L$ , то положения этих точек можно считать не зависящими от  $F$ . Поскольку ямы отстоят друг от друга на полпериода  $L$ , броуновская частица при переключении потенциалов совершает переходы между малыми окрестностями минимумов этих ям. Идентичность формы остальных участков потенциала уже

не является необходимой, поэтому можно легко обеспечить наличие высокого барьера в точке  $x = 0$ , а также удовлетворить периодическим граничным условиям.

Параметры  $\Delta V$  и  $FL$  можно рассматривать как обобщенные силы, выводящие систему из состояния равновесия, характеризуемого нулевым потоком  $J$ . Наличие высокого барьера  $V_0$  обеспечивает сильную связь двух процессов, энергии которых преобразуются мотором. При этом наибольшая эффективность достигается именно вблизи равновесия. Напротив, высокая эффективность броуновского мотора с предельно асимметричным пилообразным потенциалом (без дополнительного барьера  $V_0$ ) возникает по совершенно иному механизму. В этом случае один и тот же параметр  $\Delta V$  управляет асимметрией потенциала и величиной барьера, запирающего обратный поток. За счет этого наибольшая возможная эффективность с ростом  $\Delta V$  медленно стремится к единице по закону  $\eta_m \rightarrow 1 - \ln(\beta\Delta V)/\beta\Delta V$ , т. е. достигает максимума вдали от равновесия.

## ЛИТЕРАТУРА

1. P. Reimann, Phys. Rep. **361**, 57 (2002).
2. R. D. Astumian, Science **276**, 917 (1997).
3. F. Jülicher, A. Ajdari, and J. Prost, Rev. Mod. Phys. **69**, 1269 (1997).
4. M. O. Magnasco, Phys. Rev. Lett. **71**, 1477 (1993).
5. C. R. Doering, W. Horsthemke, and J. Riordan, Phys. Rev. Lett. **72**, 2984 (1994).
6. I. M. Sokolov, Phys. Rev. E **63**, 021107 (2001).
7. R. D. Astumian and M. Bier, Phys. Rev. Lett. **72**, 1766 (1994).
8. J. Prost, J.-F. Chauwin, L. Peliti, and A. Ajdari, Phys. Rev. Lett. **72**, 2652 (1994).
9. J.-F. Chauwin, A. Ajdari, and J. Prost, Europhys. Lett. **27**, 421 (1994).
10. T. Y. Tsong and R. D. Astumian, Prog. Biophys. Molec. Biol. **50**, 1 (1987).
11. T. Y. Tsong and R. D. Astumian, Bioelectrochem. Bioenerg. **15**, 457 (1986).
12. V. S. Markin, T. Y. Tsong, R. D. Astumian, and R. J. Robertson, Chem. Phys. **93**, 5062 (1990).
13. V. S. Markin and T. Y. Tsong, Biophys. J. **59**, 1308 (1991).
14. V. S. Markin and T. Y. Tsong, Bioelectrochem. Bioenerg. **26**, 251 (1991).
15. Y. Chen and T. Y. Tsong, Biophys. J. **66**, 2151 (1994).
16. M. O. Magnasco, Phys. Rev. Lett. **72**, 2656 (1994).
17. R. D. Astumian and M. Bier, Biophys. J. **70**, 637 (1996).
18. D. Keller and C. Bustamante, Biophys. J. **78**, 541 (2000).
19. J. M. R. Parrondo, J. M. Blanco, F. J. Chao, and R. Brito, Europhys. Lett. **43**, 248 (1998).
20. A. Parmeggiani, F. Jülicher, A. Ajdari, and J. Prost, Phys. Rev. E **60**, 2127 (1999).
21. Yu. A. Makhnovskii, V. M. Rozenbaum, D.-Y. Yang, S. H. Lin, and T. Y. Tsong, Phys. Rev. E **69**, 021102 (2004).
22. В. М. Розенбаум, Письма в ЖЭТФ **79**, 475 (2004).
23. H. Risken, *The Fokker-Plank Equation. Methods of Solutions and Applications*, Springer-Verlag, Berlin (1989).
24. O. Kedem and S. R. Caplan, Trans. Faraday Soc. **61**, 1897 (1965).